GERAÇÃO DE PULSOS LASER MULTIPLOS NO CO, A PARTIR DE UMA DESCARGA DO TIPO "HOLLOW CATHODE"

R. de Macedo Mendes*, J.L. de Souza Oliva* e C. A. Massone

Laboratório de Espectroscopía e Laser, Instituto de Física, Universidade Federal Fluminense, CP 296, Niterói, 24210 RJ.

RESUMO: Analizando a emissão estimulada no CO, a partir de uma descarga do tipo "hollow cathode" como descrita em (1), pulsos laser multiplos foram observados a partir de um unico pulso de excitação. Com diferentes misturas gasosas (CO2:N2:He) e diferentes energías de excitação, o comportamento temporal destes pulsos multiplos foi analizada como uma função da pressão. Uma família de curvas foi determinada e, a partir destas, foi possível estabelecer experimentalmente a relação CO2:N2 que otimiza a transferência de energia ressonante.

Laser gasoso, laser de CO2, "hollow cathode"

Uma análise da geração de pulsos laser multiplos no CO2 (10,6 um) a partir de um único pulso de excitação é apresentada. Uma estrutura de catodo ôco (HCD) similar a utilizada por C.S.Willett (1) foi usada para gerar radiação laser, sendo que o modelo empregado por Willett amplificava a radiação em regime DC enquanto que o presente trabalho reporta radiação laser sob excitação pulsada.

Um tubo refrigerado a água com 19,0 mm de diametro inter

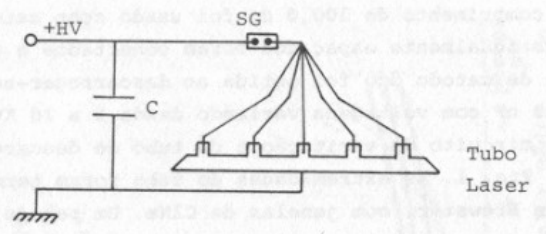


Figura 1: Diagrama do circuito de excitação. Diâmetro do tubo laser: 19,0 mm; SG:Spark-Gap; C:Capacitor; HV: Alta voltagem.

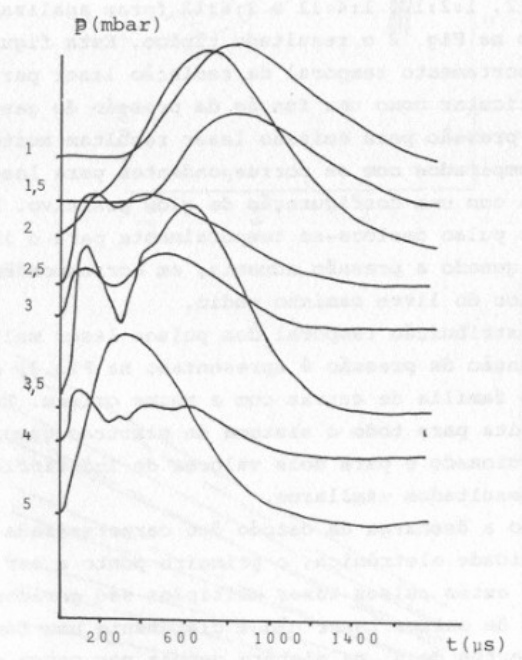


Figura 2: Estrutura temporal da radiação laser para diferentes pressões. Relação da mistura $(CO_2:N_2:He)$ 1:6:12; C= 150 nF; V= 8,9 kV; E= 5,94 J.

no e um comprimento de 100,0 cm foi usado como catodo. Cinco anodos igualmente espaçados foram conectados a este tubo.
Descarga de catodo ôco foi obtida ao descarregar-se 25, 50,
100 e 150 nF com voltagens variando desde 5 a 10 KV. O diagrama do circuito de excitação e do tubo de descarga é mostrado na Fig. 1. As extremidades do tubo foram terminadas em
angulo de Brewster, com janelas de ClNa. Um par de espelhos
com 2" de diametro (100% e 85%, 5 m de raio de curvatura e
plano, respectivamente) foram utilizados como cavidade ressonante. A radiação laser foi detetada com um detetor piroeletrico Molectron Pl-10H conectado a um osciloscopio Tektro
nix 7904.

A emissão laser a partir das misturas gasosas (CO2:N2: He) 1:0:12, 1:2:12, 1:4:12 e 1:6:12 foram analizadas, sendo ilustrado na Fig. 2 o resultado típico. Esta figura apresenta o comportamento temporal da radiação laser para uma mistura particular como uma função da pressão do gas. Os intervalos de pressão para emissão laser resultam muito reduzidos quando comparados com os correspondentes para lasers de CO2 excitados com uma configuração de glow positivo. E claro também que o pulso desloca-se temporalmente para o início da descarga quando a pressão aumenta, em correspondência com um menor valor do livre caminho medio.

A distribuição temporal dos pulsos laser multiplos como uma função da pressão é apresentado na Fig.3, dando origem a uma familia de curvas com a mesma origem. Esta análise foi feita para todo o sistema de misturas gasosas previa mente mencionado e para dois valores de indutância do circuito, com resultados similares.

Sendo a descarga de catodo ôco caracterizada por uma alta densidade eletrônica, o primeiro ponto a ser considerado é como estes pulsos laser multiplos são gerados. O número máximo de pulsos laser não é claramente uma função do número de partes de $\rm N_2$ na mistura gasosa por causa dos resultados obtidos como os apresentados na Figura 3. Similarmente o número máximo de pulsos laser para diferentes partes de $\rm N_2$ sugere fortemente que eletrons colidem com cada molécula de $\rm N_2$, sendo que a cada colisão gera-se uma interação $\rm N_2-CO_2$ responsável pela geração de um pulso laser. A Tabela I mos-

Baixa (--- Alta) Indutancia.

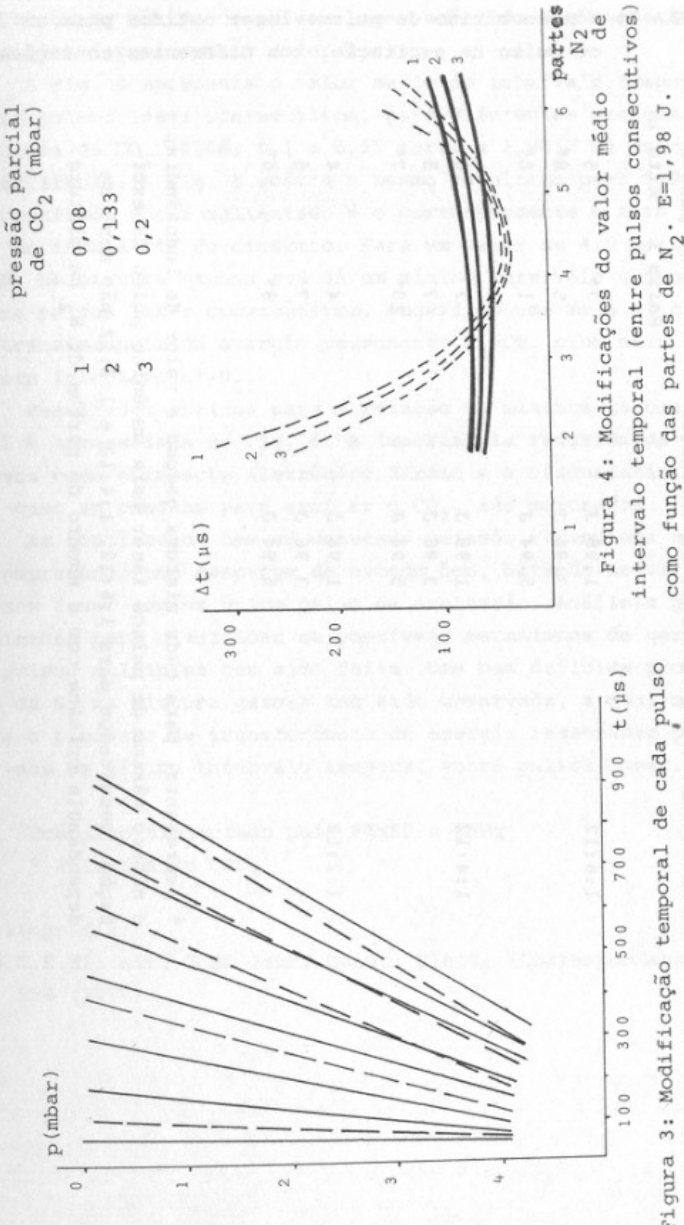


Figura 3: Modificação temporal de cada pulso laser como função da pressão. Mistura $(\text{CO}_2:\text{N}_2:\text{He})$ 1:2:12,E=3,96 J.—Baixa(--Alta) indutância

TABELA I: Número máximo de pulsos laser obtidos para um único pulso de excitação, sob diferentes condições.

L,98 J 3,96 J 5,94 J 1,98 J 5,94 J 5,94 J 5,94 J 5,94 J	Baixa L Alta L		* 80	**	9	5	* 7*	4	2	* 9	e valor de indutância,
· ·		7	5	1	7	7	10*	4	7	.8	asosa e valor de
	energia de exc		3,96 J	5,94 J	1,98 J		5,94 J	1,98 J	3,96 J		

mistura tação. Resultados para 1:6:12, 1:4:12 e 1:2:12 não mostram com o número de partes de dependência crítica tra o número máximo de pulsos laser sob todo o sistema de condições experimentais diferentes.

A Fig. 4 apresenta o valor medio do intervalo temporal entre pulsos laser consecutivos, para diferentes pressões parciais de CO_2 (0,06; 0,1 e 0,15 torr) e 1,98 J de energía de excitação. A Fig. 5 mostra o mesmo resultado para 5,94 J. Um resultado a ser salientado é o correspondente a alto valor de indutância do circuito. Para um valor de 4,5 partes de N_2 na mistura gasosa nos dá um mínimo intervalo temporal entre pulsos laser consecutivos, sugerindo uma mais eficiente transferência de energía ressonante N_2^* - CO_2 e/ou mais eficiente interação e*- N_2 .

Resultados obtidos para a relação de mistura gasosa 1: 0:12 é apresentada na Fig. 6. A importância reduzida de processos como o impacto eletrônico direto e a dissociação do CO₂ como um caminho para excitar o CO₂, são mostrados.

Em conclussão, tem-se detetado emissão estimulada no CO_2 empregando uma descarga de catodo ôco, obtemdo-se varios pulsos laser com um único pulso de excitação. Análisis preliminares para clarificar os possíveis mecanismos de geração de pulsos multiplos tem sido feita. Uma bem definida proporção de N_2 na mistura gasosa tem sido observada, a qual maximiza o processo de transferência de energía ressonante para dar-nos um mínimo intervalo temporal entre pulsos laser.

Trabalho financiado pela FINEP e CNPq * Bolsista do CNPq

Bibliografía:

1.- C.S.Willett, IEEE Jour. Quant. Elect. (Correspondence) 568 (1970)

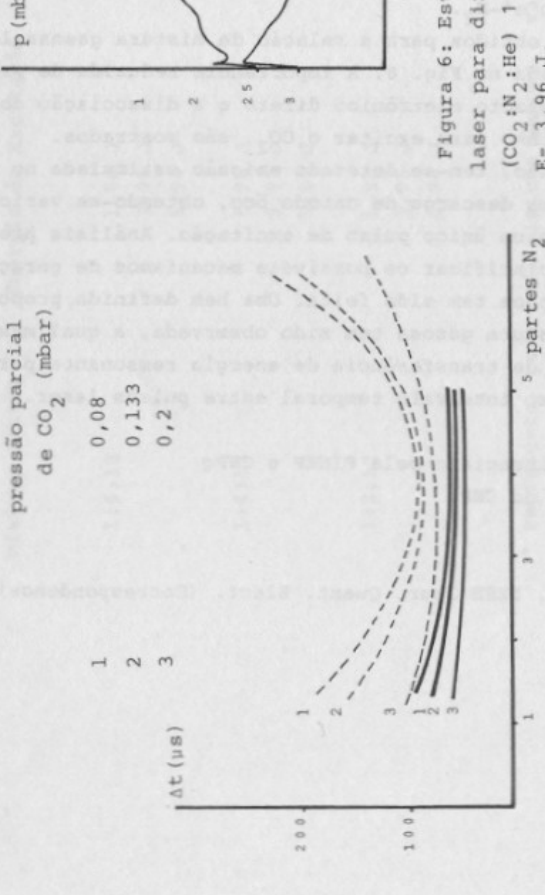


Figura 5: Modificações do valor médio de intervalo temporal (entre pulsos laser consecutivos) como função do número de partes de N₂ na mistura. E=5,94 J Baixa (---- Alta) Indutância.

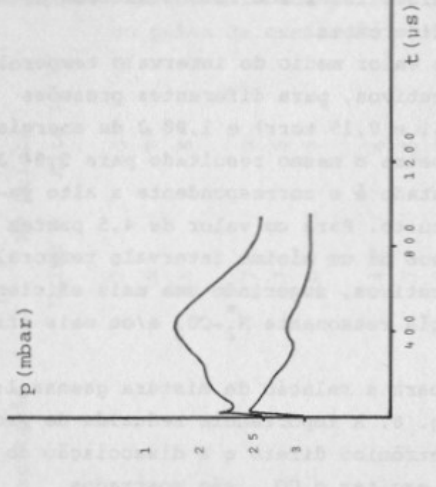


Figura 6: Estrutura temporal da radiação laser para diferentes pressões. Mistura (CO₂:N₂:He) 1:0:12; C=150 nF; V=8,9 kV; E= 3,96 J.